

ΟΛΟΚΛΗΡΩΤΙΚΕΣ ΣΧΕΣΕΙΣ MAXWELL ΓΕΝΙΚΑ

1

ΓΡΑΦΗ 1

ΓΡΑΦΗ 2

$$\oint_e \vec{E} \cdot d\vec{\ell} = - \frac{d}{dt} \int_{S(\ell)} \vec{B} \cdot d\vec{S}$$

$$\oint_e \vec{H} \cdot d\vec{\ell} = \int_{S(\ell)} (\vec{J}_u + \frac{\partial \vec{D}}{\partial t}) \cdot d\vec{S}$$

$$\oint_S \vec{B} \cdot d\vec{S} = \int_{V(S)} \rho_{mu} dV \equiv 0$$

$$\oint_S \vec{D} \cdot d\vec{S} = \int_{V(S)} \rho_{eu} dV \equiv Q_{in}$$

$$\oint_S \vec{dS} \times \begin{pmatrix} \vec{E} \\ \vec{H} \end{pmatrix} = \int_{V(S)} \begin{pmatrix} -\frac{\partial \vec{B}}{\partial t} \\ \vec{J}_u + \frac{\partial \vec{D}}{\partial t} \end{pmatrix}$$

και

$$\oint_S \vec{dS} \cdot \begin{pmatrix} \vec{B} \\ \vec{D} \end{pmatrix} = \int_{V(S)} \begin{pmatrix} \rho_{mu} \equiv 0 \\ \rho_{eu} \end{pmatrix}$$

ρ_{mu}, ρ_{eu} : πυκνότητες (ιδιομορφες ή μη) μαγνητικών και ηλεκτρικών μονοπόλων. Μαγνητικά μονόπολα δεν έχουν εισέτι παρατηρηθεί, ενώ τα ηλεκτρικά μονόπολα ταυτίζονται με τα "ελεύθερα" (όχι μέλη ζευγών αντιθέτων - "u" praired ή "u" nmatched) φορτία

\vec{J}_u : πυκνότητα ρεύματος (ιδιομορφη ή μη) χάρη κίνησης των "ελευθέρων" φορτίων. Δεν μπορεί να είναι της μορφής $\vec{J}_u = \nabla \times \vec{A}(\vec{r}, t)$ με $\vec{A}(\vec{r}, t)$ δυναμική πεδίου, εκτός και ρ_{eu} ανεξάρτητη του χρόνου.

Ιδιομορφες πυκνότητες: αυτές που στη διατύπωσή τους υπεισέρχονται γενικευμένες συναρτήσεις τύπου δέλτα. Μερικά παραδείγματα των πυκνοτήτων αυτών οδηγούν στις μωστικές επιφανειακές, σφαιρικές και γραμμικές πυκνότητες, όλες μη ιδιομορφες συναρτήσεις του χώρου.

- ℓ : γραμμή (κλειστή)
- $S(\ell)$: επιφάνεια με χείλος την ℓ
- S : επιφάνεια (κλειστή)
- $V(S)$: όγκος περιχλειόμενος από την S

$\vec{E}, \vec{B}, \vec{H}, \vec{D}$: πεδία κλάμερα.

Μονο 6 είναι ανεξάρτητα *
(θα το δούμε στη συνέχεια)

* Οι γραφες 1 και 2 αναφέρονται σε ακινητες γραμμες-βρόχους, όγκους και επιφάνειες (δηλαδή, επιφάνειες Gauss)

ΔΙΑΤΗΡΗΣΗ ΗΛΕΚΤΡΙΚΟΥ ΦΟΡΤΙΟΥ

1α

$$\oint_S \vec{J}_u \cdot d\vec{S} + \int_{V(S)} dV \frac{\partial \rho_{\text{εκ}}}{\partial t} = 0 \quad (2)$$

* Αναφέρεται πάλι σε ακίνητες επιφάνειες

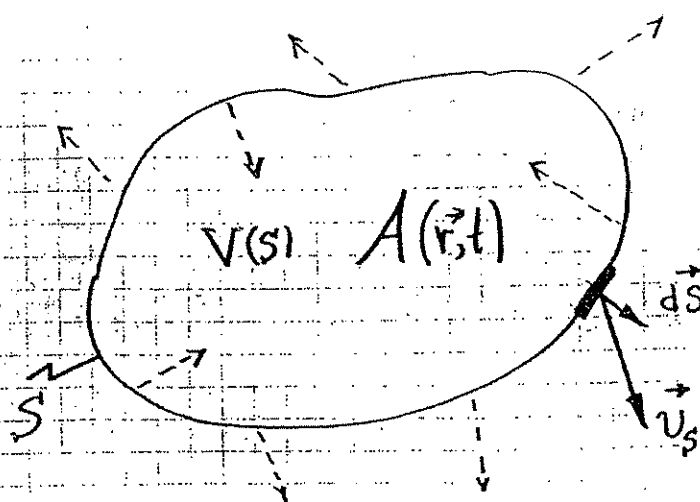
ΠΕΡΑΣΜΑ ΑΠΟ ΑΚΙΝΗΤΕΣ ΣΕ ΚΙΝΟΥΜΕΝΕΣ ΕΠΙΦΑΝΕΙΕΣ

Ακίνητες :
$$\frac{d}{dt} \int_{V(S)} dV A(\vec{r}, t) = \int_{V(S)} dV \frac{\partial A(\vec{r}, t)}{\partial t} \quad (3)$$

Κινούμενες :
$$\frac{d}{dt} \int_{V(S)} dV A(\vec{r}, t) = \int_{V(S)} dV \frac{\partial A(\vec{r}, t)}{\partial t} + \oint_S d\vec{S} \cdot \vec{U}_s(\vec{r}, t) A(\vec{r}, t) \quad (3a)$$

$A(\vec{r}, t)$: Βαθμωτή ή διανυσματική πεδιακή ποσότητα

$\vec{U}_s(\vec{r}, t)$: η ταχύτητα του στοιχείου επιφάνειας στη θέση \vec{r} , την χρονική στιγμή t .



κινούμενη,
παραμορφώμενη,
παλλόμενη,
επιφάνεια

ΔΙΑΤΗΡΗΣΗ ΗΛΕΚΤΡΙΚΟΥ ΦΟΡΤΙΟΥ

$$\oint_S \vec{J}_u \cdot d\vec{S} + \int_{V(S)} dV \frac{\partial \rho_{\text{ext}}}{\partial t} = 0 \quad (2)$$

* Αναφέρεται πάλι σε ακίνητες επιφάνειες

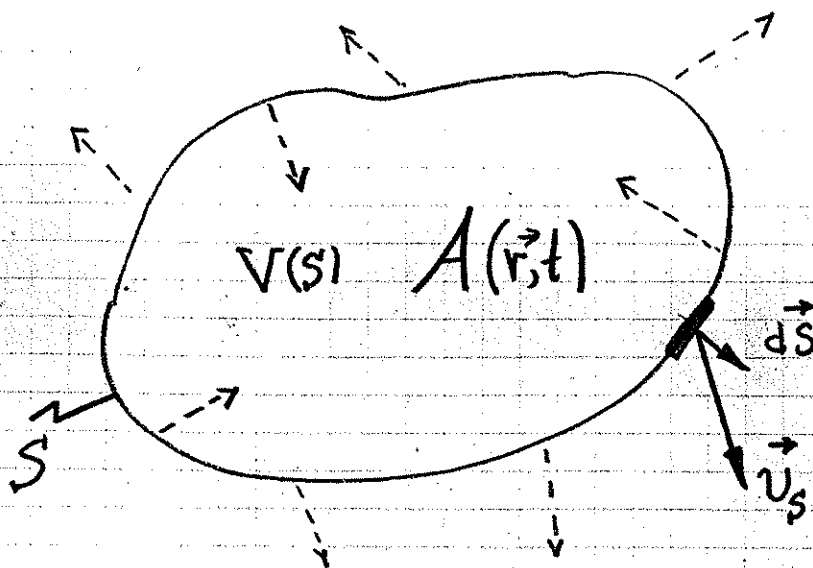
ΠΕΡΑΣΜΑ ΑΠΟ ΑΚΙΝΗΤΕΣ ΣΕ ΚΙΝΟΥΜΕΝΕΣ ΕΠΙΦΑΝΕΙΕΣ

Ακίνητες : $\frac{d}{dt} \int_{V(S)} dV A(\vec{r}, t) = \int_{V(S)} dV \frac{\partial A(\vec{r}, t)}{\partial t} \quad (3)$

Κινούμενες : $\frac{d}{dt} \int_{V(S)} dV A(\vec{r}, t) = \int_{V(S)} dV \frac{\partial A(\vec{r}, t)}{\partial t} + \oint_S d\vec{S} \cdot \vec{U}_s(\vec{r}, t) A(\vec{r}, t) \quad (3a)$

$A(\vec{r}, t)$: Βαθμωτή ή διανυσματική πεδιακή ποσότητα

$\vec{U}_s(\vec{r}, t)$: η ταχύτητα του στοιχείου επιφάνειας στη θέση \vec{r} , την χρονική στιγμή t .



κινούμενη,
παραμορφούμενη,
παλλόμενη,
επιφάνεια

ΤΑ ΠΕΔΙΑΚΑ ΜΕΓΕΘΗ ΚΑΙ Η ΔΙΑΤΥΠΩΣΗ ΤΟΥΣ ΜΕ ΤΗ ΒΟΗΘΕΙΑ ΤΩΝ ΕΚΦΡΑΣΕΩΝ ΤΟΥΣ ΣΤΟΝ ΚΕΝΟ ΧΩΡΟ

Το ζεύγος \vec{E}, \vec{H} συνδέεται ιστορικά με τις δυνάμεις μεταξύ μερονωμένων φορτίων και μαγνητικών πόλων μαγνητών.

Το ζεύγος \vec{D}, \vec{B} αντικατοπτρίζει πυκνότητες πεδιακών γραμμών ηλεκτρικού και μαγνητικού πεδίου αντίστοιχα.

<p>για υλικό</p> <p>(4)</p> <p>μέσα</p>	$\vec{D} \equiv \epsilon_0 \vec{E} + \vec{P}$ $\vec{B} \equiv \mu_0 (\vec{H} + \vec{M})$	<p>,</p> <p>,</p>	$\left[\begin{array}{c} \epsilon_0 \vec{E} \\ \mu_0 \vec{H} \end{array} \right]_{\text{Κενός χώρος}}$	<p>-(4α)</p> <p>(ϵ_0: ηλεκτρική δεκτικότητα)</p> <p>(μ_0: μαγνητική διαπερατότητα)</p>
	Γενικοί ορισμοί		Κενός χώρος	

($\mu_0 = 4\pi \cdot 10^{-7}$ Henry/μέτρο, $\epsilon_0 = 8.8542 \cdot 10^{-12}$ Farad/μέτρο,

Σημείωση: c (ταχύτητα φωτός στο κενό) = $1/\sqrt{\epsilon_0 \mu_0}$)

Το \vec{P} αντικατοπτρίζει την παρουσία ύλης, ενώ το \vec{E} είναι η πεδιακή εκείνη ποσότητα που επαίεται από "εξωτερικές" πηγές και πηγές εντός του υλικού μέσου. Τα ίδια ισχύουν και για το \vec{M} και \vec{H} αντίστοιχα. Οι ποσότητες (χαρακτηριστικές του υλικού μέσου) \vec{P} και \vec{M} καλούνται πόλωση και μαγνήτιση αντίστοιχα. Τα \vec{D} και \vec{B} είναι υβριδικές ποσότητες, δηλαδή αντικατοπτρίζουν την παρουσία ύλης και των πεδιακών μεγεθών \vec{E} και \vec{H} πάνω πάνω φυσικής πηγές ("εξωτερικές" ή εντός του υλικού μέσου) επαφών. Οι "εξωτερικές" πηγές είναι συνήθως επιφάνειες υλικών μέσων πλήρως ελεγχόμενων από τον παρατηρητή, τοποθετημένες σε ικανή απόσταση από το υλικό μέσο και διαχωριζόμενες από αυτό με χώρο κενό ύλης. Οι πηγές οι εντός του υλικού μέσου έχουν

να κάνουν με τις ιδιότητες της ύλης στο μικροσκοπικό επίπεδο.

Πρέπει να τονισθεί ότι οι γενικές σχέσεις υλικών μέσων (σελίδα 2) είναι κυριολεκτικά γενικές και εν πολλοίς αποτελούν ορίσμούς για τα πεδία μέγιστη-πυκνότητας πεδίων γραμμών. Η "αδομητεία" των φυσικών μεγεθών \vec{P} και \vec{M} σε συνάρτηση με τα \vec{D} και \vec{H} (ενώ το \vec{P} μετράται, όπως και το \vec{D} σε Coulomb/μέτρα τετραγωνικά, το \vec{M} δεν μετράται σε Weber/μέτρα τετραγωνικά, αλλά σε Ampere/μέτρα, όπως το \vec{H}) οφείλεται σε καθαρά λόγους ιστορικής εξέλιξης του ηλεκτρομαγνητισμού και των συστημάτων μονάδων μέτρησης.

Εισαγωγή των "ορίσμών" αυτών στις ολοκληρωτικές σχέσεις οδηγεί στις εξής διαφορικές-σημειακές σχέσεις, εκείνες τις περιοχές του χώρου (που καταλαμβάνει το υλικό μέσο) που δεν υπάρχουν ιδιόμορφες κατανομές, και για υλικά μέσα σε ηρεμία :

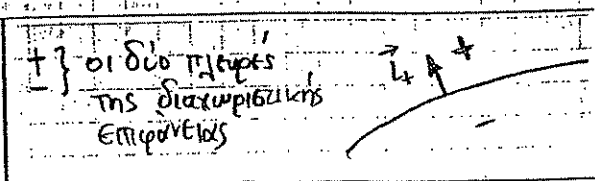
$$\begin{aligned} \nabla \cdot \vec{E} &= \frac{\rho_{\text{ext}}}{\epsilon_0} - \frac{\nabla \cdot \vec{P}}{\epsilon_0} \equiv \frac{\rho_{\text{ext}}}{\epsilon_0} \leftarrow \text{ολική πυκνότητα φορτίου} \\ \nabla \cdot \vec{H} &= -\nabla \cdot \vec{M} \equiv \frac{\rho_{\text{mol}}}{\mu_0} \\ \nabla \times \vec{H} &= \vec{J}_{\text{ext}} + \epsilon_0 \frac{\partial \vec{E}}{\partial t} + \frac{\partial \vec{P}}{\partial t} \equiv \vec{J}_{\text{ολ}} \leftarrow \text{ολικό ρεύμα} \\ \nabla \times \vec{E} &= -\mu_0 \frac{\partial \vec{H}}{\partial t} - \mu_0 \frac{\partial \vec{M}}{\partial t} \end{aligned} \quad (5a)$$

Πυκνότητα φορτίων επαγωγής: $-\nabla \cdot \vec{P}$
 Ρεύμα πόλωσης: $\frac{\partial \vec{P}}{\partial t}$

Επίσης σε διαχωριστικές επιφάνειες (σε ηρεμία)

έχουμε:

$$\begin{aligned} \vec{l}_+ \cdot (\vec{D}_+ - \vec{D}_-) &= \sigma_{\text{ext}} \\ \vec{l}_+ \times (\vec{E}_+ - \vec{E}_-) &= 0 \\ \vec{l}_+ \cdot (\vec{B}_+ - \vec{B}_-) &= 0 \\ \vec{l}_+ \times (\vec{H}_+ - \vec{H}_-) &= \vec{K}_{\text{ext}} \end{aligned} \quad (5b)$$



Εξισώσεις Maxwell σε κινούμενα υλικά μέσα

$$\begin{aligned} \nabla \cdot \vec{E} &= \frac{\rho_{ext}}{\epsilon_0} - \frac{\nabla \cdot \vec{P}}{\epsilon_0} \\ \nabla \cdot \vec{H} &= -\nabla \cdot \vec{M} \\ \nabla \times \vec{H} &= \vec{J}_u + \epsilon_0 \frac{\partial \vec{E}}{\partial t} + \frac{\partial \vec{P}}{\partial t} + \nabla \times (\vec{P} \times \vec{v}) \\ \nabla \times \vec{E} &= -\mu_0 \frac{\partial \vec{H}}{\partial t} - \mu_0 \frac{\partial \vec{M}}{\partial t} - \mu_0 \nabla \times (\vec{M} \times \vec{v}) \end{aligned}$$

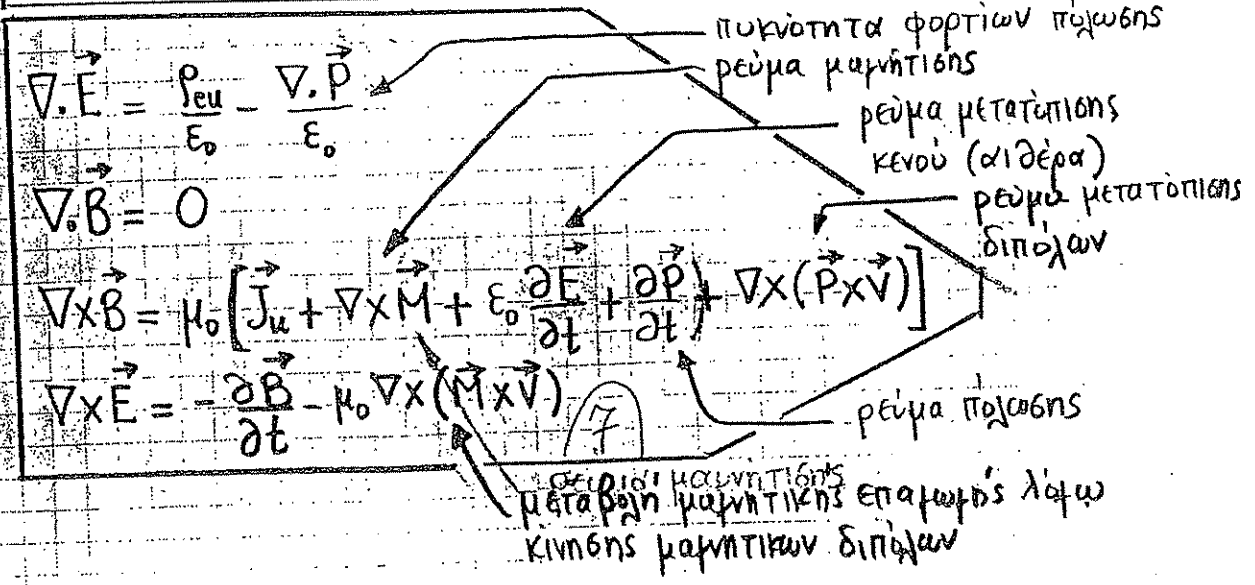
Για κινούμενες διαχωριστικές επιφάνειες έχουμε:

$$\begin{aligned} \vec{l}_+ \cdot (\vec{D}_+ - \vec{D}_-) &= \sigma_{ext} \\ \vec{l}_+ \times (\vec{E}_+ - \vec{E}_-) &= (\vec{l}_+ \cdot \vec{v}) (\vec{B}_+ - \vec{B}_-) \\ \vec{l}_+ \cdot (\vec{B}_+ - \vec{B}_-) &= 0 \\ \vec{l}_+ \times (\vec{H}_+ - \vec{H}_-) &= \vec{l}_+ \cdot (\vec{v}) (\vec{D}_+ - \vec{D}_-) \end{aligned}$$

Οι σχέσεις αυτές προκύπτουν με την εισαγωγή των ορισμών στις ολοκληρωτικές σχέσεις όπως αυτές γενικεύονται για κινούμενες επιφάνειες και στο όριο που αυτές περιβάλλουν απείροστα στοιχεία υλικού με μη-ιδιομορφες πυκνότητες στο όριο αυτό.

$\nabla \times (\vec{P} \times \vec{v})$ αποτελεί ρεύμα λόγω περιστροφής διπόλων ($\vec{P} \parallel \vec{v}$)
 $\nabla \times (\vec{M} \times \vec{v})$ συνεισφέρει στην αλλαγή της μαγνήτισης λόγω περιστροφής των μαγνητικών διπόλων ($\vec{M} \parallel \vec{v}$)

ΓΡΑΦΗ ΜΕ ΑΕΛΚΑΙΟ ΒΛΑΝΤΙ Η * καλύτερη



$$\nabla \times \nabla \times \vec{E} + \frac{1}{c^2} \frac{\partial^2 \vec{E}}{\partial t^2} = -\mu_0 \frac{\partial \vec{J}_{0\Omega}}{\partial t}$$

$$\nabla \times \nabla \times \vec{B} + \frac{1}{c^2} \frac{\partial^2 \vec{B}}{\partial t^2} = \mu_0 \nabla \times \vec{J}_{0\Omega} \quad (8)$$

$$\vec{J}_{0\Omega} \equiv \vec{J}_{\Omega} + \nabla \times \vec{M} + \frac{\partial \vec{P}}{\partial t} \quad (9)$$

ΣΥΝΤΑΚΤΙΚΕΣ ΣΧΕΣΕΙΣ

Οι εξισώσεις του Maxwell είναι φαινομενικά οκτώ (2 διανυσματικές και 2 βαθμωτές). Με δεδομένα τα \vec{J}_{Ω} και ρ_{Ω} που συνδέονται με την εξίσωση διατήρησης φορτίου (εξωτερική των εξισώσεων Maxwell, δηλαδή εκφράζει έναν ανεξάρτητο φυσικό νόμο) που είναι βαθμωτή εξίσωση, ο αριθμός των ανεξαρτήτων εξισώσεων Maxwell μειώνεται κατά μία.

Αν εφαρμόσουμε την απόκριση στην εξίσωση-νόμο του Faraday θα πάρουμε $\partial \nabla \cdot \vec{B} / \partial t = 0$ το οποίο συνεπάγεται ότι $\nabla \cdot \vec{B} = 0$ αν $\nabla \cdot \vec{B} = 0$ στην αρχή του χρόνου (κοσμολογικό χρόνο), δηλαδή συνάφουμε τον νόμο του Gauss. Τελικά λοιπόν έχουμε έξη ανεξάρτητες εξισώσεις οι οποίες εμπλέκουν δώδεκα πεδιακά μεγέθη, δηλαδή, τα \vec{B}, \vec{D} και \vec{H}, \vec{E} . Χρειάζονται επομένως έξη εξισώσεις που να συνδέουν αυτά τα μεγέθη μεταξύ τους. Οι εξισώσεις αυτές, αν και όταν είναι δυνατόν να διατυπωθούν σε κλειστή μορφή, καλούνται συντακτικές σχέσεις. Να σημειωθεί ότι τα μεγέθη \vec{J}_{Ω} και ρ_{Ω} είναι εξωτερικά σε σχέση με τις εξισώσεις του Maxwell και απαιτούν κάποιο επιπρόσθετο φυσικό μοντέλο για να υπολογισθούν σε συνδυασμό με τις εξισώσεις αυτές. Ένα από τα προεφωράτερα και πιο

Κοντά στη φυσική πραγματικότητα μοντέλα, είναι αυτό της κινητικής 5
θεωρίας εξειδικεύσεις της οποίας είναι η φυσική πλάσματος,
η φυσική δερμών ηλεκτρονίων και η μαγνητοϋδροδυναμική.

Οι δυναμικές σχέσεις, από την άλλη μεριά, στη γενικότητά τους
θα πρέπει να αντικατοπτρίζουν την κλασική αιτίας-αποτελέσματος
στην επίδραση του ηλεκτρομαγνητικού πεδίου επί του υλικού μέσου.
Γενικά, η δράση της αιτίας και η εκδήλωση του αποτελέσματος
(σαν αιτία μπορούν συμβολικά να ορισθούν τα \vec{E} και \vec{H} , ενώ τα
αποτελέσματα θα μπορούσαν να ορισθούν η πόρωση \vec{P} και η μαγνήτιση \vec{M}
του υλικού μέσου) χωρίζονται χρονικά (δηλαδή υπάρχουν πάντα σε κάποιο
βαθμό, μεγάλο ή μικρό, φαινόμενα υστέρησης). Επιπλέον, η σχέση
μεταξύ αιτίας-αποτελέσματος, δεν είναι απαραίτητο να είναι γραμμική.

Μάλιστα, η μη γραμμική συσχέτιση έχει τεράστιες επιπτώσεις, οι οποίες
περιλαμβάνουν εκτίμησει ιδιαίτερα και ανοίχουν νέους μεγάλους δρόμους
εφαρμογών κυρίως στην φωτονική τεχνολογία και τους φωτονικούς
υπολογιστές και δίκτυα του μέλλοντος. Η μη γραμμική συσχέτιση στα
μαγνητικά φαινόμενα είναι γνωστή εδώ και έναν αιώνα και λαμβάνεται
πάντα υπ όψη στη σχεδίαση μαγνητών, μετασχηματιστών και ηλεκτρικών
μηχάνων (κινητήρων ή γεννητριών). Η πόρωση, π.χ, θα μπορούσε να είναι:

$$\begin{aligned}
 P_i(\vec{r}, t) = & \epsilon_0 \sum_{j=1}^3 \int_V dV' \int_{-\infty}^t dt' \chi_{ij}^{(1)}(\vec{r}', t'; \vec{r}, t) E_j(\vec{r}', t') \quad \leftarrow \text{Γραμμικός όρος} \\
 & + \epsilon_0 \sum_{j=1}^3 \sum_{k=1}^3 \int_V dV' \int_V dV'' \int_{-\infty}^t dt' \int_{-\infty}^t dt'' \chi_{ijk}^{(2)}(\vec{r}'', t''; \vec{r}', t'; \vec{r}, t) E_j(\vec{r}'', t'') E_k(\vec{r}', t') \\
 & + \epsilon_0 \sum_{j=1}^3 \sum_{k=1}^3 \sum_{l=1}^3 \int_V dV' \int_V dV'' \int_V dV''' \int_{-\infty}^t dt' \int_{-\infty}^t dt'' \int_{-\infty}^t dt''' \chi_{ijkl}^{(3)}(\vec{r}', t'''; \vec{r}'', t''; \vec{r}', t'; \vec{r}, t) E_j(\vec{r}', t''') E_k(\vec{r}'', t'') E_l(\vec{r}', t') \\
 & + \dots
 \end{aligned}$$

Μη γραμμικοί όροι

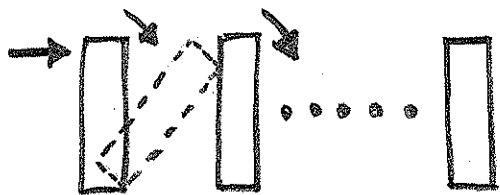
όπου τα $i(j, k, e) = 1, 2, 3$ αναφέρονται στις καρτεσιανές συνιστώσες των υπερεκπεκτινόμενων πεδίων μερδίων, ενώ η ομοκλήρωση ως προς το χώρο νοείται για όλη την έκταση του υλικού μέσου και αυτή η του χρόνου θεωρείται ότι αρχίζει κάποτε στο παρελθόν το οποίο συμβολικά μόνο συμβολίζουμε με $t \rightarrow -\infty$ (η ποσοτική χρήση του $-\infty$ δικαιολογείται τα μέγιστα στο μετασχηματισμό της προηγούμενης έκφρασης στο χώρο Fourier ως προς τον χρόνο, δηλαδή, στο συχνολογικό χώρο). Συνήθως ο γραμμικός όρος (πρώτος) και οι δύο πρώτοι μη γραμμικοί είναι επαρκείς για τα περισσότερα των υλικών και για εντάσεις ηλεκτρικού πεδίου αρκετά σημαντικές (ακόμη και για πεδία της τάξης των 10^{10} V/m). Οι συναρτήσεις χ κολλούν για πυρήνες ηλεκτρικής επιδεκτικότητας. Ο γραμμικός πυρήνας είναι συνήθως κατά

πολύ μεγαλύτερος των μη γραμμικών πυρήνων που φάνηκε καθαίσ οφείνεται η τάξη τους. Παρατηρούμε επίσης ότι ακόμη και ο γραμμικός όρος δεν είναι σε ευθεία αναλογία συνιστώσα προς συνιστώσα με το αποτέλεσμά, την πύκνωση δηλαδή. Γιαυτό ο πυρήνας επιδεκτικότητας $\chi^{(1)}$ είναι πίνακας 3×3 . Ο λόγος της μη παραλληλίας εντάσεως πεδίου και πύκνωσης μπορεί να έγκειται σε φωτεινές διαμορφώσεις του υλικού μέσου (όπως κρυσταλλική δομή π.χ.) που δεν επιτρέπουν ελεύθερη μετακίνηση φορτίων που να έδρασαν την πύκνωση παράλληλη με το επιβαλλόμενο ηλεκτρικό πεδίο.

Τέλος, τα φαινόμενα υστέρησης αντικατοπτρίζονται στην παρουσία του ομοκλήρωσης και μάλιστα των χρονικών (ιστορικών) ομοκλήρωμάτων.

Η υστέρηση μπορεί να ποσοποιηθεί με το φαινόμενο "ντόμινο": Αν το ηλεκτρικό πεδίο αντιστοιχισθεί με την αίσθηση (στιγμιαία) του πρώτου ντόμινο στη σειρά, και η πύκνωση (οριζοντιώδης) των ντόμινο σαν τη πύκνωση, τότε είναι φανερό ότι το τυ τυχόν ντόμινο δεν "υπάρκει" στη στιγμή στην παρουσία της αίσθησης. Επιπλέον, γίνεται το ίδιο υπαίτιο

της πύωσης του επομένου: εξού και το χαρικό ομοεικόγραμμα στην έκφραση για τη πύωση.



Η μαγνήτιση, από την άλλη μεριά έχει κλασική ανάλογη δομή:

$$\begin{aligned}
 M_i(\vec{r}, t) = & \sum_{j=1}^3 \int_V dV' \int_{-\infty}^t dt' \chi_{ij}^{(1)}(\vec{r}, t'; \vec{r}, t) H_j(\vec{r}, t') \\
 & + \sum_{j=1}^3 \sum_{k=1}^3 \int_V dV' \int_V dV'' \int_{-\infty}^t dt' \int_{-\infty}^t dt'' \chi_{ijk}^{(2)}(\vec{r}, t'; \vec{r}, t'; \vec{r}, t) H_j(\vec{r}, t') H_k(\vec{r}, t'') \\
 & + \sum_{j=1}^3 \sum_{k=1}^3 \sum_{l=1}^3 \int_V dV' \int_V dV'' \int_V dV''' \int_{-\infty}^t dt' \int_{-\infty}^t dt'' \int_{-\infty}^t dt''' \chi_{ijkl}^{(3)}(\vec{r}, t'; \vec{r}, t'; \vec{r}, t'; \vec{r}, t) H_j(\vec{r}, t') H_k(\vec{r}, t'') H_l(\vec{r}, t''') \\
 & + \dots
 \end{aligned}$$

χ : πυρήνες μαγνητικής επιδεικτικότητας

Εναι άλλο ενδιαφέρον είναι η εξάρτηση (γραμμική, μη-γραμμική, με υστέρηση) της πύωσης P_i από τα H_j ή της μαγνήτισης M_i από τα E_j . Η σύζευξη αυτή είναι συνήθως στα λεγόμενα μαγνητο-ηλεκτρικά υλικά στα οποία θα επανέλθουμε αργότερα.

Υπάρχουν διαφορετικοί τρόποι γραφής των συντακτικών σχέσεων. Ο πλέον συνήθιστος τρόπος που αποτελεί συμβολική συμπύκνωση των παραπάνω είναι ο εξής για υλικά που δεν παρουσιάζουν σύζευξη \vec{P} και \vec{M} :

ΓΡΑΦΗ 1

$$\begin{aligned}
 \vec{D} &= \vec{\epsilon} \bullet \vec{E} \equiv \epsilon_L \bullet \vec{E} + NL(\vec{E}) \bullet \vec{E} \\
 &\equiv \epsilon_0 [\vec{I} + \vec{\chi}^{(1)} \bullet] \vec{E} + NL(\vec{E}) \equiv \epsilon_0 \vec{\epsilon}_r \bullet \vec{E} + NL(\vec{E})
 \end{aligned}$$

(12)

και

$$\begin{aligned}\vec{B} &= \vec{\mu} \bullet \vec{H} \equiv \vec{\mu}_L \bullet \vec{H} + \vec{NL}(\vec{H}) \equiv \mu_0 \left[\vec{I} + \vec{\zeta} \bullet \right] \cdot \vec{H} + \vec{NL}(\vec{H}) \\ &\equiv \mu_0 \vec{\mu}_r \bullet \vec{H} + \vec{NL}(\vec{H})\end{aligned}\quad (12a)$$

όπου ο μέγας κύβος \bullet υποδηλώνει συνέλιξη με ότι ακολουθεί (απλή ή πολλαπλή) και η τετραγωνία φαινόμενα με συνιστώσες (απλά-πίνακα ή πολλαπλά-ταυστικά). Τα $\vec{\epsilon}_L$ και $\vec{\mu}_L$ καλούνται

γραμμικοί ταυστές ηλεκτρικής επιτρεπτότητας και μαγνητικής διαπερατότητας αντίστοιχα. Αποτελούνται από δύο μέρη: την

επιτρεπτότητα και τη διαπερατότητα του κενού $\epsilon_0 \vec{I}$ και $\mu_0 \vec{I}$ αντίστοιχα (που είναι απλοί βαθμιαίοι πολλαπλασιαστές) και τους ταυστές ηλεκτρικής και μαγνητικής επιδεκτικότητας, $\vec{\chi}^{(1)}$ και $\vec{\zeta}^{(1)}$ που είναι πυρήνες-πίνακες

3x3. Ότι περιβάλλει είναι οι μη γραμμικές συνεισφορές. Τέλος, οι ταυστές $\vec{\epsilon}_r$ και $\vec{\mu}_r$ καλούνται γραμμικοί ταυστές όχρεινης ηλεκτρικής επιτρεπτότητας και μαγνητικής διαπερατότητας αντίστοιχα (όχρεινης ως προς το κενό). Αν συμπληρώσουμε και τα μαγνητοηλεκτρικά υλικά θα

έχουμε:

$$(13) \quad \begin{array}{l} \vec{D} = \vec{\epsilon} \bullet \vec{E} + \vec{\zeta} \bullet \vec{H} \\ \vec{B} = \vec{\eta} \bullet \vec{E} + \vec{\mu} \bullet \vec{H} \end{array} \quad \text{ή} \quad \begin{array}{l} \left(\begin{array}{c} \vec{D} \\ \vec{B} \end{array} \right) = \vec{C} \bullet \left(\begin{array}{c} \vec{E} \\ \vec{H} \end{array} \right) \end{array} \quad (13a)$$

όπου ο συντακτικός ταυστής-πυρήνας \vec{C} , κατά το γραμμικό του μέρος, είναι ένας πίνακας-πυρήνας 6x6 που βρίσκεται σε συνέλιξη με το "διάνυσμα" (\vec{E}, \vec{H}) . Ο συντακτικός ταυστής μεταπίπτει σε απλό πίνακα 6x6 και οι συντακτικές σχέσεις γίνονται,

$$\begin{pmatrix} \vec{D}_\omega \\ \vec{B}_\omega \end{pmatrix} = \vec{C}_\omega \bullet \begin{pmatrix} \vec{E}_\omega \\ \vec{H}_\omega \end{pmatrix} \quad (14)$$

Ισχύει όλα τα μετέωρα αναφέρονται σε όλες τις συνιστώσες Fourier
 στο ουσιοτικό χώρο (ω), μόνο στις περιπτώσεις εκείνες που το
 υλικό μέσο βρίσκεται σε μόνιμη κατάσταση. (δηλαδή, οι ιδιότητες
 του εκείνες που επιρρεάζουν την ηλεκτρομαγνητική συμπεριφορά -
 πρακτικά όλες οι φυσικοχημικές ιδιότητες - είτε δεν εξαρτώνται από
 το χρόνο, είτε παρουσιάζουν περιοδικές μεταβολές). Δηλαδή, στο
 ουσιοτικό χώρο η γραμμική συσχέτιση μεταξύ του (\vec{D}, \vec{B}) και
 του (\vec{E}, \vec{H}) γίνεται διανυσματική σχέση μεταξύ των συνιστωσών
 Fourier των πεδίων μετέωρα (όχι κατ'ανάγκη σχέσεις αναλογίας).
 Ο ουσιοτικός τύπος \vec{C} μεταπίπτει σε απλό πίνακα 6×6 και
 στην περίπτωση εκείνη που δεν επιρρεάζονται από τη συχνότητα ω
 οι ιδιότητες του υλικού: στην περίπτωση αυτή δεν υπάρχουν καν
 συνεξίξεις, αλλά απλές διανυσματικές πράξεις πολλαπλασιασμού.

Ενώ ο τρόπος γραφής \perp παραπέμπει στις γνωστές, από τη κυμαθωική
 εκπαίδευση, σχέσεις $\vec{D} = \epsilon \vec{E}$ και $\vec{B} = \mu \vec{H}$ (ϵ, μ μπορεί να είναι
 βαθμιαίες συναρτήσεις του χώρου), υπάρχει και δεύτερος τρόπος που
 σχετίζεται άμεσα με εφαρμογές σε χρονομεταβλητά συστήματα. (διάδοση,
 εκπομπή, σκέδαση κλπ). Θα ασχληθούμε με τον τρόπο αυτό και την
 απορρέουσα κατάταξη υλικών στο επόμενο κεφάλαιο.

ΧΡΟΝΙΚΑ ΑΡΜΟΝΙΚΑ ΚΑΙ ΜΟΝΟΧΡΟΜΑΤΙΚΑ ΗΛΕΚΤΡΟΜΑΓΝΗΤΙΚΑ ΠΕΔΙΑ

Στις περιπτώσεις εκείνες που ενδιαφερόμαστε για πεδία μετέωρα των
 οποίων η χρονική εξάρτηση είναι μονοχρωματική, ορίζουμε:

(15) $\vec{A}(\vec{r}, t) \equiv \text{Re}[\vec{A}_\omega(\vec{r}) e^{-j\omega t}]$ όπου $\vec{A}(\vec{r}, t)$ κάθε πεδιακό
 μέγεθος και $\vec{A}_\omega(\vec{r})$ ο φασοειδής του μεγέθους αυτή. Έτσι, οι εξισώσεις
 μπορούν να ξαναγραφούν ως εξής:

$$\begin{aligned}\nabla \times \vec{E}_\omega &= j\omega \vec{B}_\omega \\ \nabla \times \vec{H}_\omega &= -j\omega \vec{D}_\omega + \vec{J}_{\omega, \omega} \\ \nabla \cdot \vec{B}_\omega &= 0 \\ \nabla \cdot \vec{D}_\omega &= \rho_{\text{ext}, \omega}\end{aligned}$$

Οι εξισώσεις αυτές ισχύουν πάντοτε για τις συνιστώσες Fourier (φασίδες) των πεδίων μεθόδων, όσες και να είναι αυτές.

Οι συντακτικές σχέσεις που συνδέουν τα πεδία μεθόδων (\vec{D}, \vec{H}) με τα (\vec{E}, \vec{B}) κατά το δεύτερο τρόπο γραφής είναι, όπως ήδη είδαμε και για τον πρώτο τρόπο γραφής, εν γένει πυκνότητες: ομογενειακοί ταχυοί-πυρήνες σε χρόνο και χώρο. Υπάρχουν μάλιστα και περιπτώσεις, που δεν αναγράφει κατά τη συζήτηση του πρώτου τρόπου γραφής, όπου πέραν των ομογενειοτήτων υπάρχουν και διαφορίες. Αν οι διαφορίες είναι χωρικές, τότε πρόκειται για μέθοδο που χαρακτηρίζεται από χωρική διάσπαρά. Αν είναι χρονικές, τότε τα μέθοδο χαρακτηρίζονται από χρονική διάσπαρά. Η εξάρτηση των συντακτικών σχέσεων από το χρόνο, t , υποδηλώνει μη μόνιμη κατάσταση του υλικού μέσου, εκτός εάν και υπάρχει σχέση μεταξύ των φασίδων που επιφέρει μία μοναδική συχνότητα. Η εξάρτηση των συντακτικών σχέσεων από το χώρο, αντικαθίσταται σε αναμορφωμένη μέθοδο. Αν αποκλείσουμε μη γραμμική συμπεριφορά

και μη μόνιμη κατάσταση υλικών μέσων, τότε, για αρμονικές, μονοχρωματικές διαφορίες του μέσου, οι συντακτικές σχέσεις μπορεί να διατυπωθούν ως εξής:

ΓΡΑΦΗ 2

(17)

$$\begin{aligned}c \vec{D}_\omega &= \vec{P}_\omega \cdot \vec{E}_\omega + \vec{L}_\omega \cdot c \vec{B}_\omega \\ \vec{H}_\omega &= \vec{K}_\omega \cdot \vec{E}_\omega + \vec{Q}_\omega \cdot c \vec{B}_\omega\end{aligned}$$

$$\text{ή} \quad \begin{pmatrix} c \vec{D}_\omega \\ \vec{H}_\omega \end{pmatrix} = \vec{C}_\omega \cdot \begin{pmatrix} \vec{E}_\omega \\ c \vec{B}_\omega \end{pmatrix} \quad (17a)$$

Ο 6x6 πίνακας \vec{C}_ω είναι μηαδική συνάρτηση της συχνότητας ω , που απαρτίζεται από τους επί μέρους πίνακες $\vec{R}_\omega, \vec{L}_\omega, \vec{K}_\omega$ και \vec{Q}_ω . Το πλεονέκτημα τω τρόπου γραφής 2 είναι ότι υπακούει στους μετασχηματισμούς Lorentz (αυτοί που αφήνουν μορφολογικά αναλλοίωτες τις εξισώσεις του Maxwell). Προσφέρεται επομένως για τον υπολογισμό των δυναμικών σχέσεων σε κινούμενα υλικά μέσα ή και συστήματα αναφοράς. Επίσης προσφέρεται για το χαρακτηρισμό μέσων που καταλαμβάνουν ηλεκτρομαγνητική ενέργεια μετατρέποντάς την σε άλλες μορφές ενέργειας ή ακίνη και σε ηλεκτρομαγνητική ενέργεια σε άλλες συχνότητες και μήκη κύματος (δερμική, π.χ.). Θα επανέλθουμε στο αντικείμενο αυτό αργότερα.

Υλικά στα οποία απουσιάζουν τα \vec{L}_ω και \vec{K}_ω (είναι, δηλαδή, μηδέν) καλούνται ανισοτροπικά εν ήνευ. Όταν δεν συμβαίνει κάτι τέτοιο, τα μέσα καλούνται δυσ-ανισοτροπικά ή (επί το φαινομενικό) μαγνητοηλεκτρικά όπως ήδη είδαμε. Η ανισοτροπία εν ήνευ, καθώς και η δυσ-ανισοτροπία αντικατοπτρίζεται ανομοιογενώς καταβύθισης, κρυπταλινή δομή ή και άξονες ή επίπεδα συμμετρίας στη δομή του υλικού μέσου. Όταν το μέσο όμοιο είναι άμορφο (πιθανά ανομοιογενές) τότε έχουμε:

άμορφα
μη-μαγνητοηλεκτρικά

$\vec{R}_\omega = c \epsilon_\omega(\vec{r}) \vec{I}$ $\vec{Q}_\omega = \frac{\vec{I}}{c \mu_\omega(\vec{r})}$	$\vec{L}_\omega = \vec{K}_\omega = 0$
--	---------------------------------------

18

οπότε και παίρνουμε τις απλές βαθμωτές σχέσεις $\vec{D}_\omega = \epsilon_\omega \vec{E}_\omega, \vec{H}_\omega = \frac{\vec{B}_\omega}{\mu_\omega}$.

Εν ήνευ τα ανισοτροπικά μέσα χαρακτηρίζονται από τις σχέσεις, $\vec{D}_\omega = \epsilon_\omega \vec{E}_\omega, \vec{B}_\omega = \mu_\omega \vec{H}_\omega$, όπως ήδη είδαμε, όπου ένα τυχαίο από τα $\epsilon_\omega, \mu_\omega$ δεν είναι βαθμωτή ποσότητα.

Διεξάδι, μπορούμε να έχουμε μέσα ηλεκτρικά ανισοτροπικά, μαγνητικά ανισοτροπικά ή και διπλά ανισοτροπικά. Ειδικές υποκατηγορίες των μέσων αυτών (αναφορικά με κρυσταλλικές δομές) είναι δίκζωνια ανισοτροπικά (ηλεκτρο- ή/και μαγνητο-) υλικά όπου, η τανυστής ηλεκτρικής επιζερτυότητας, π.χ., έχει τη μορφή (στο κατάλληλο καρτεσιανό σύστημα συντεταγμένων)

$$\vec{\epsilon}_\omega = \begin{pmatrix} \epsilon_x(\omega) & 0 & 0 \\ 0 & \epsilon_y(\omega) & 0 \\ 0 & 0 & \epsilon_z(\omega) \end{pmatrix} \quad 19$$

Στα μονοζωνια ανισοτροπικά υλικά, από την άλλη μεριά, έχουμε

$$\vec{\epsilon}_\omega = \begin{pmatrix} \epsilon(\omega) & 0 & 0 \\ 0 & \epsilon(\omega) & 0 \\ 0 & 0 & \epsilon_z(\omega) \end{pmatrix} \quad 20$$

Στην περίπτωση αυτή, η διεύθυνση z, καθίζει οπτική άξονας του υλικού μέσου.

Άλλες ειδικές υποκατηγορίες υλικών, τα οποία θα έχουμε την ευκαιρία να δούμε σε παραδείγματα αργότερα, είναι τα λεγόμενα χυροτροπικά μέσα: τα χυροηλεκτρικά μέσα (πλάσμα σε μαγνητικό πεδίο, βόκκερα).

$$\vec{\epsilon}_\omega = \begin{pmatrix} \epsilon(\omega) - j\epsilon_g(\omega) & 0 \\ j\epsilon_g(\omega) & \epsilon(\omega) & 0 \\ 0 & 0 & \epsilon_z(\omega) \end{pmatrix} \quad 21$$

και τα χυρομαγνητικά μέσα (φεριττες)

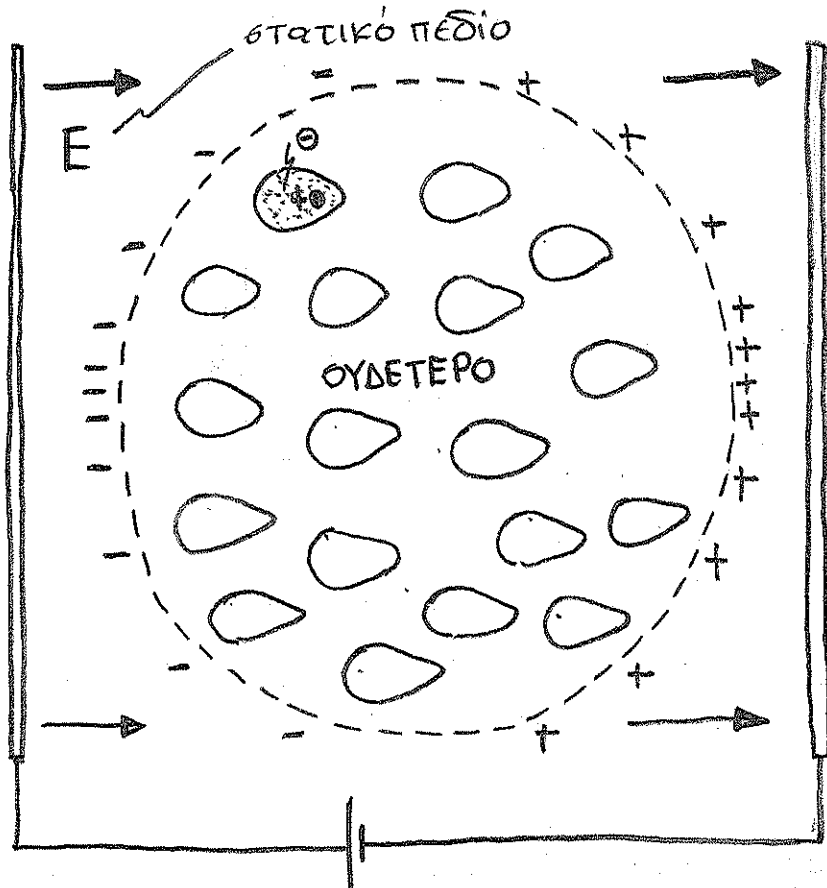
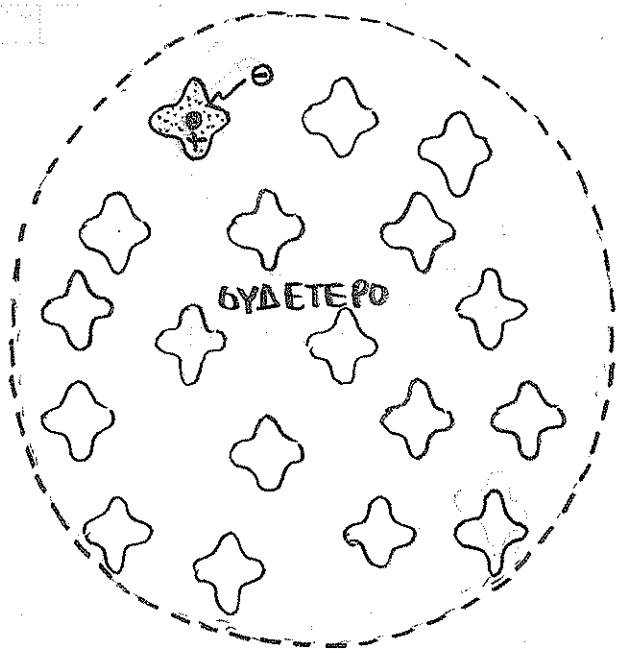
$$\vec{\mu}_\omega = \begin{pmatrix} \mu(\omega) & -j\mu_g(\omega) & 0 \\ j\mu_g(\omega) & \mu(\omega) & 0 \\ 0 & 0 & \mu_z(\omega) \end{pmatrix} \quad 22$$

Τέλος, τα μαγνητοηλεκτρικά υλικά (υλικά που παρουσιάζονται όταν τίθενται σε μαγνητικό πεδίο και μαγνητίζονται, όταν τίθενται σε ηλεκτρικό πεδίο (!) πέραν της αναμενόμενης μαγνήτισης και πόλωσης αντίστοιχα), αποτελούν μία άκρως ενδιαφέρουσα κατηγορία υλικών. Θεωρητικά προβλέφθηκαν

οτις αρχές της δεκαετίας του '60 από τους σοβιετικούς, Landau, Dzyaloshinskii και Lifshitz. Αρτίτερα ο σοβιετικός Indenbom και οι Birss και Rado επεδείξαν ότι το μαγνητοηλεκτρικό φαινόμενο απαιτείται σε πολλές κατηγορίες κρυστάλλων. Όμως, το μαγνητοηλεκτρικό φαινόμενο προσημειώθηκε σαν ιδιότητα ενός νέου ιδεατού στοιχείου κυκλωμάτων, του λεγόμενου πυράτορα από τον εμπνευστή του, τον Tellegen, γύρω στα 1948 στα εργαστήρια της Philips Ολλανδίας. Τέλος, πρέπει να επισημανθεί, ότι σχεδόν όλα τα υλικά παρουσιάζουν μαγνητοηλεκτρικές ιδιότητες όταν τεθούν σε κίνηση. Από παλιό παλιά ήταν γνωστό, αυτό. Ο Roentgen, μάλλον, το 1888 ανακάλυψε ότι κινούμενα διηλεκτρικά μαγνητίζονται όταν τοποθετηθούν σε ηλεκτρικό πεδίο, ενώ το 1905 ο Wilson έδειξε ότι επίσης κινούμενα διηλεκτρικά μέσα ενός ομοιογενούς μαγνητικού πεδίου, παράγουν ηλεκτρισμό.

Στο επόμενο κεφάλαιο θα εξετάσουμε διεξοδικά τα φαινόμενα της πύαωσης και μαγνήτισης πριν ασχοληθούμε με την αγωγιμότητα.

ΠΟΛΩΣΗ



Φυσική περιγραφή

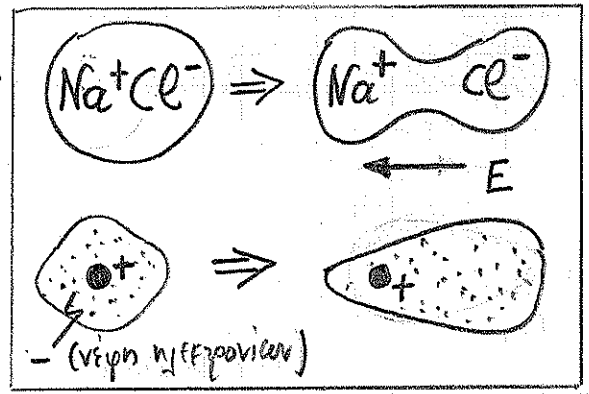
Τα υλικά, εν γένει, χωρίζονται σε δύο μεγάλες κατηγορίες :

- Μη ποικα
- Ποικα

Οι χαρακτηριστικά αυτή βέβαια αναφέρονται αποκλειστικά στις περιπτώσεις εκείνες που δεν υφίστανται κανένα είδος εξωτερικού (δυνατό επιβιβυμίου απόγας μέσω εξωτερικού πεδίου, όπως ήδα εξωτερικού πεδίου).

Τα μη-ποικα υλικά μπορούν να διακριθούν στις εξής κατηγορίες :

- Μη-ποικα : • επιδεικτικά σε ιοντική ή μοριακή ποικα :
- επιδεικτικά σε ηλεκτρονική ποικα :

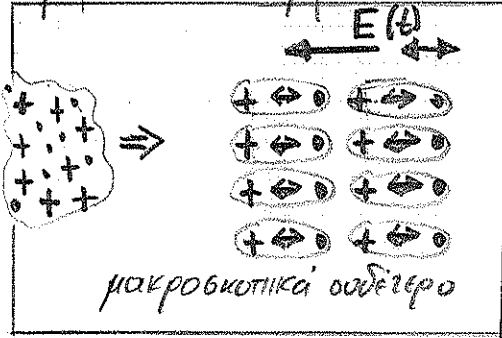


Διηλεκτική, στη μικροσκοπική κλίμακα τα υλικά είναι πλάσματα ζώω μετατόπισης των εξωτερικών κέντρων θετικού και αρνητικού φορτίου σε μοριακή ή ηλεκτρονική κλίμακα. Η μετατόπιση αυτή είναι βέβαια σε σχέση με μέγεθος, συμπεριφορά ή και μικρότερη των θετικών αποστάσεων. Το σχήμα της προηγούμενης βεβιας παρουσιάζει την περίπτωση ενός τέτοιου υλικού. Στη θεωρία αυτή, το υλικό παρουσιάζει φόρτιση στην επιφάνεια του, ενώ στο εσωτερικό υπάρχει εξισορροπία που δεν αφήνει περιθώρια για εμφάνιση φορτίων χώρου. Πρέπει να σημειωθεί εδώ ότι η συμπεριφορά του υλικού μη ποικα υλικού στην εφαρμογή του στατικού πεδίου επιφέρει ανακατατάξεις όμοιες με εκείνες ενός υλικού στο οποίο υπάρχουν εξεισθρα ηλεκτρόνια αλλά είναι μακροσκοπικά ουδέτερα. Ηλεκτρόνια θα κινηθούν προς τα αρνητικά μέχρι σημείο εξισορροπίας έτσι ώστε τελικά θα έχουμε την εξωτερική εσοφάνεια του υλικού φορτισμένη όπως στο σχήμα. Η σημαντική όμως διαφορά ενός τέτοιου υλικού (που θα αναφέραμε αφούγκο και θα μετρήσουμε αφούγκο) με το μη ποικα υλικό του παραδείγματος, είναι η ακόλουθη : Το αφούγκο, εκτός εφόσον σε επαφή με άλλο αφούγκο υλικό αντίστα φορτισμένο (π.χ. την αρνητική πλάκα του σχήματος) θα εφορτισθεί, δυνατά τα περιεσθρα ηλεκτρόνια στην αρνητική επιφάνεια θα μετακινηθούν

επίσης μέσα στο διέγρο υγρού. Κάτι ζέση δά μπορεί να συμβεί, τουλάχιστον εικόνα (για συμβολικά εντάξει πεδίων που δει θέτουν σε κίνηση της ιοντικής δομής ή και την κατάστασή δεσμεύσης των ηλεκτρονίων-ηλεκτρονικών νσηών κτι τους πυρήνες).

* Σημαντική παρατήρηση * ← ΠΡΟΣΟΧΗ !

Η πόωση δέν είναι αποκλειστική ιδιότητα δεσμευμένων φορτίων (είτε σε πυρήνες, είτε σε μοριακά συστήματα). Φορτία (π.χ. ηλεκτρόνια) τα οποία είναι ελεύθερα να κινηθούν (δημιουργία) και δει απορρογών μνη μοριακών ή ηλεκτρονικών συστημάτων, μπορεί, κάτω από ορισμένες προϋποθέσεις, να συμβάλουν στην πλάσμη πύκνωσης στο υγρό μέσο. Χαρακτηριστικό παράδειγμα είναι από του πλάσματος (συνύπληξη ηλεκτρονίων και πυρήνων με μακροβιοτική συντήρηση και αντιστοίχια φορτίων χάρη στην κατάσταση ηρεμίας απουσία εξωτερικών πεδίων). Αν εφαρμοσθεί περιοδικό ηλεκτρικό πεδίο, τα ηλεκτρόνια ζιθενται σε ταχύνωση (σαν πηχό πιο ενάντια, λόγω πηχό μικρής μάζας) στη φορά των βάρων (οριζόντια) ιδόντων. Δηλαδή, εμφανίζονται δίπολα, ενταξασόμηνες κατεύθυνση και ανισορροπία μετέδους. Η εμφάνιση της περιοδικής κίνησης πόωσης είναι, λόγω, αποκλειστική



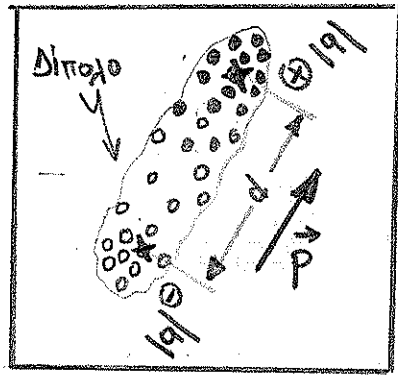
σχεδόν πάντα των ηλεκτρονίων που μπορούν ελεύθερα να κινηθούν (όπως και τα ιόντα, αλλά σε αντιστροφή κατεύθυνση) άφαινας ρεύμα όταν εφαρμοσθεί ηλεκτρικό πεδίο που έχει και σταθερό (χρονικά σταθερή) συνιστάδα.

Τα πολλικά υλικά έχουν πρόπταρχοντα δίπολα και χάρη την επιβχή καινο εξωτερικά πεδίων. Όμως, ^{η πόωση} τα δίπολα αυτά ^{να} είναι κατανεμημένα κατά ζέση ζοστό που ακέρη και σε μικρή κλίμακα (μηνιαία ή και αρκετά μικρά) δει παρουσιάζουν πόωση. Όταν ίσως εφαρμοσθεί εξωτερικό πεδίο, τα δίπολα ζέσουν να ενδυναμωθούν με απορρογών την αντίθετη πόωση σε μικρο- και μακρο- βιοτικές επιπέδα. Κάθετα παράδειγμα είναι αυτό του νερού. Αν, η κατανομή των δίπολων είναι ζέση που να υπάρχει πόωση εζ' αρχής, τότε τα υλικά αυτά ανήκουν στην ειδική υποκατηγορία των ηλεκτρονίων. Τέλος υπάρχουν και υλικά (πολλικά) τα οποία, μετά από υποβλή σε

Ψαθυρίκι ηλεκτρική πίεση παρουσιάζει παρακρυσάλια πύκνωμα, δηλαδή μετακρίτωση σε ηλεκτρίτες. Τα υλικά αυτά καλούνται οιδηρο-ηλεκτρικά (ferroelectrics) επειδή η παρακρυσάλια πύκνωμα ομοιάζει αυτής της μαγνήτωσης του σιδήρου.

ΠΟΣΟΤΙΚΟΙ ΟΡΙΣΜΟΙ

Διπολική ροπή : Διανυσματικό μέγεθος ίσο προς το γινόμενο της απόστασης μεταξύ των συμμετρικών κέντρων των κατανομών θετικών και αρνητικών φορτίου, και της απώστου πηγής του φορτίου. Έχει κατεύθυνση πάντα από το αρνητικό στον θετικό φορτίο (πύλο) των ζεύγους. Τυπικές τιμές για τυπικά υλικά : 10^{-30} C.m



$$\vec{P} \equiv |q|d \quad (23)$$

Το χρησιμοποιούμενο σύμβολο είναι το μικρό "p", και οι μονάδα μέτρησης το C.m. Το |q| είναι το στοιχειώδες θετικό φορτίο στη κατανομή θετικών φορτίου. Πρέπει να τονισθεί ότι η διπολική ροπή είναι μέν μικροσκοπική ποσότητα αλλά δεν περιφρίζεται και ανάκη σε μονοσημιαή ή άλλη μορφακή κλίμακα. Ετσι το q μπορεί να είναι από ένα μέχρι αρκετά (Γευάδες-εκατοντάδες) στοιχειώδη φορτία σε μέγεθος. Αν, π.χ., $|q| = 8e \sim 10^{-18}$ C, τότε 10^{-30} C.m = p συνεπάφεται χαρακτηριστική απόσταση $d \sim 10^{-12}$ m $\sim 10^{-10}$ cm, δηλαδή περίπου το 1/50 της ακτίνας του Bohr (για το άτομο του υδρογείου).

Πυκνότητα διπολικής ροπής (Πύκνωμα, ισοδύναμα)

$$\vec{P} \equiv \lim_{\Delta V \rightarrow 0} \frac{1}{\Delta V} \sum_{j \in \Delta V} \vec{p}_j = \vec{P}(\vec{r}, t) \quad (24)$$

Στο βαθμό που υπάρχει αυτό το όριο μπορεί να οραθεί η πεδισκή συνάρτηση της πύκνωμα και είναι λεία. Γενικά όμως, η πύκνωμα (εία ή μη : συνήθως ή ιδιόμορφη) μέτρα κατά μέσο όρο και κατά προέφρηση (όταν η διακρίσιμα δεν μπορεί παρά να ληφθεί υπ' όψη) τη σφαιρική πυκνότητα (m^{-3}) διπολικών ροπών στην θέση ενός σφαιρίου \vec{r} , τη χρονική στιγμή t.

Εάν ορίσουμε τη μέση τιμή της διπολικής ροπής ανά μονάδα όγκου \vec{P}

όταν,

$$\langle \vec{P} \rangle \equiv \lim_{\Delta V \rightarrow 0} \frac{1}{\Delta N} \sum_{j=1}^{\Delta N} \vec{p}_j \quad (25)$$

Συνδυάζοντας τις σχέσεις (24)-(25) παίρνουμε τελικά,

$$\vec{P} = n_p(\vec{r}, t) \cdot \langle \vec{p} \rangle \quad (26)$$

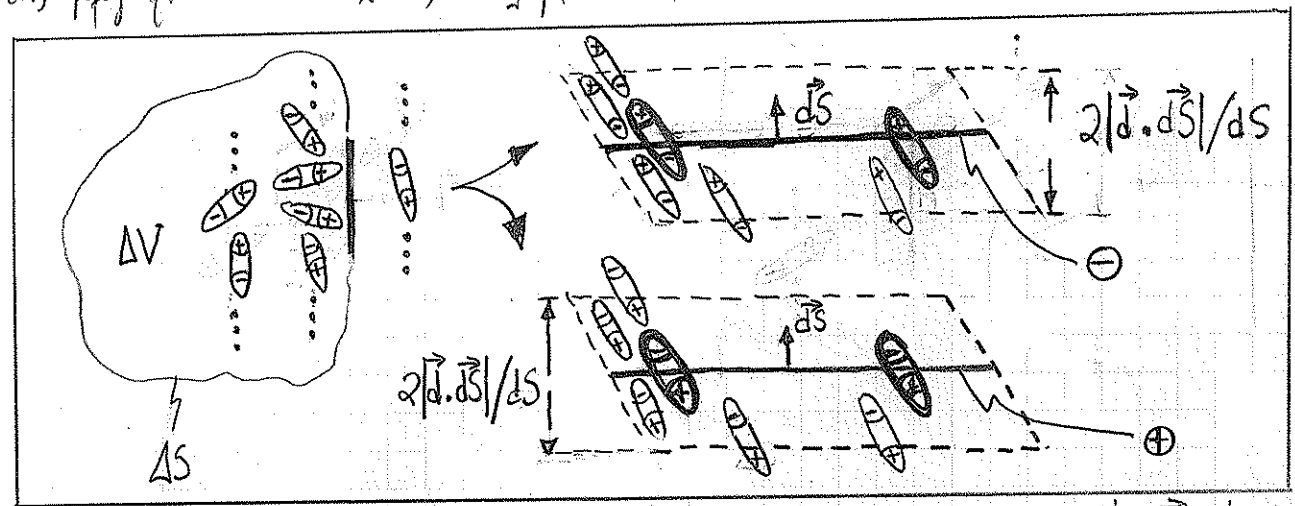
δηλαδή, η πόωση είναι ανάλογη της αριθμητικής πυκνότητας ^{διπολικών} (που μπορεί να είναι και γρήγορα μεταβαλλόμενη) επί τη μέση τιμή της διπολικής ροπής.

Εάν το υλικό μέσο χαρακτηρίζεται από ποικιλία διπόλων με πυκνότητες (μέσους) $n_{pa}(\vec{r}, t)$ και μέση διπολική ροπή (το "μέσο" τώρα αναφέρεται στο διανυσματικό μέσο των, κατά τα άνω, ιδίου μήκους, διπολικών ροπών ενός των συνιστωσών του μέσου) $\langle \vec{p}_a \rangle$ τότε προφανώς,

$$\vec{P} = \sum_a n_{pa}(\vec{r}, t) \langle \vec{p}_a \rangle \equiv \sum_a \vec{P}_a \quad (27)$$

Παράγωγες πυκνότητας φορτίων πόωσης και \vec{P}

Ας εξετάσουμε ένα μικρό κομμάτι υλικού μέσου (τα ίδια ισχύουν και για ^{μη-πολικό μέσο} υλικό). Το κομμάτι αυτό αποτελεί μέρος ενός μεγαλύτερου σε έκταση υλικού, καταλαμβάνει όγκο ΔV και περιβάλλεται από επιφάνεια ΔS



Επικεντρώνουμε το ενδιαφέρον μας σε ένα μικρό μέρος της επιφάνειας του κομματιού, dS . Όταν εμφανιστεί πόωση το μέσο, το αποτέλεσμα της συστημικής των διπόλων στην επιβήνη των εξωτερικών πεδίων οδηγεί στα εξής δύο ενδεχόμενα: Εάν μόν $\vec{d} \cdot \vec{dS} > 0$, τότε τα διπόλα συνάδονται σφραγισμένα

τις θετικές κεφαλαί εκτός του ΔV , ενώ εδώ $\vec{d} \cdot \vec{dS} < 0$, συμβαίνει το ίδιο με τις ουρές και στις δύο όψεις περιπτώσεις στη συμβαίνει την αδροαριθμική στο \vec{dS} και σε βάθος ίσο με την προβολή του \vec{d} στην διεύθυνση του \vec{dS} , παραμένει πάντα περίθεμα αρνητικά και θετικά φορτίου αντίστοιχα. Δηλαδή τα σκαλα (στο σχήμα) διπλά είναι αυτά που τελικά συνεισφέρουν στην εμφάνιση περιθώματος φορτίου, διότι τα άλλα (ή μάλλον οι ουρές και οι κεφαλαί τους) είναι ίσες στον αριθμό εντά του θραύματος αυτού. Επομένως,

Όταν $\vec{d} \cdot \vec{dS} > 0$: $dQ_p^- = -|q| \vec{d} \cdot \vec{dS} n_p < 0$

-II- $\vec{d} \cdot \vec{dS} < 0$: $dQ_p^+ = |q| (-\vec{d} \cdot \vec{dS}) n_p > 0$

όπου n_p η αριθμητική πυκνότητα διπλών εντά του σκαλαίου. Επομένως, πάντα

$$dQ_p (+ \text{ή} -) = -|q| \vec{d} \cdot \vec{dS} n_p = -\vec{P} \cdot \vec{dS} \quad (28)$$

και άρα, αν ολοκληρώσουμε επί όγκο του επιφανειακά θραύματος του κομμάτι:

$$\Delta Q_p = -\oint_{\Delta S(\Delta V)} \vec{P} \cdot \vec{dS} \quad (29)$$

Απλά μαθηματικά (θεώρημα Gauss) οδηγούν στην ταύτιση αυτή του επιφανειακά θραύματος με ολοκλήρωμα στον όγκο ΔV της αδροαριθμικής του διανύσματος \vec{P} :

$$\Delta Q_p = -\int_{\Delta V} \nabla \cdot \vec{P} dV \quad (30)$$

πράγμα, πιν στο όριο $\Delta V \rightarrow 0$ οδηγεί στον ακριβή ορισμό πυκνότητας φορτίου πηγαίου

$$\rho_p \equiv \lim_{\Delta V \rightarrow 0} \frac{\Delta Q_p}{\Delta V} = -\nabla \cdot \vec{P} \quad (31)$$

Απο την παραπάνω ανάλυση, είναι φανερό ότι μπορεί να οριστεί επιφανειακή πυκνότητα φορτίου πηγαίου, σ_p , απλά εάν το αδροαριθμικά των dQ_p/dS και στις δύο όψεις του στοιχείου dS . Δηλαδή [από την (28)] έχουμε:

$$\sigma_p \equiv \left(\frac{dQ_p}{dS} \right)_+ - \left(\frac{dQ_p}{dS} \right)_- = -\vec{P}^+ \cdot \frac{\vec{dS}^+}{dS} - \vec{P}^- \cdot \frac{\vec{dS}^-}{dS} = -(\vec{P}^+ - \vec{P}^-) \cdot \vec{n} \quad (32)$$

19
 όπου συμβολικά πάντα φέρουμε $\vec{l}_n \equiv \frac{d\vec{S}^{(+)}}{dS} \equiv \hat{l}_n$ και διακρίνουμε την ποσότητα σε $\vec{P}(t)$ και $\dot{\vec{P}}(t)$ για τις περιπτώσεις που παρουσιάζουν αδυναμία εδωκευμένη. Τον φυσικό μόνο παρατηρητή και επιφανειακή κατανομή φορτίων (όπως, π.χ., στην επιφάνεια ενός πυρήνα μίση και ο περιβάλλον κενού χώρο διαφορική διεύθυνση)

Ρεύμα Πρόωσης, \vec{J}_p

Εάν τα δίπτυχα που διεισδύουν στη παρουσία φορτίων στο στοιχείο dS του σχήματος της σελίδας 17, είτε αλληλίζουν χρονικά σε ορισμό ή αλληλίζουν σε χωρική/χρονικά (π.χ. λόγω μεταβολής του \vec{d}), τότε από ισοδυναμία με μεταφορά φορτίων δια μέσου του dS . Επειδή η εμφάνιση θετικών φορτίων στο dS οφείλεται σε μεταφορά αρνητικών φορτίων εκτός επιφάνειας εικά η εμφάνιση αντίθετα αρνητικών οφείλεται σε μεταφορά θετικών φορτίων, ο ρυθμός μεταφοράς ανά μονάδα χρόνου θα είναι $-\frac{d}{dt} dQ_p (+ \eta^-)$, οπότε από την (28) έχουμε,

$$d\dot{I}_p \equiv -\frac{d}{dt}(dQ_p) = \frac{\partial \vec{P}}{\partial t} \cdot d\vec{S} \quad (33)$$

όπου $d\dot{I}_p$ είναι τα Ampère που αντιστοιχούν στην dS και στη μεταφορά αυτή. Επομένως μπορεί κανείς να ορίσει πυκνότητα ρεύματος πρόωσης \vec{J}_p έτσι ώστε

$$d\dot{I}_p = \vec{J}_p \cdot d\vec{S} \quad \text{ή, λόγω της (33):}$$

$$\vec{J}_p = \frac{\partial \vec{P}}{\partial t} \quad (34)$$

Σημαντική παρατήρηση (*): (← ΠΡΟΣΟΧΗ!): Το στοιχείο dS πρέπει θα θεωρηθεί ακίνητο.

Νόμος Διατήρησης φορτίων πρόωσης

Είναι προφανές ότι (εκ κατασκευής) οι σχέσεις (31) και (34) οδηγούν άμεσα στον νόμο διατήρησης:

$$\frac{\partial \rho_p}{\partial t} + \nabla \cdot \vec{J}_p = 0 \quad (35)$$

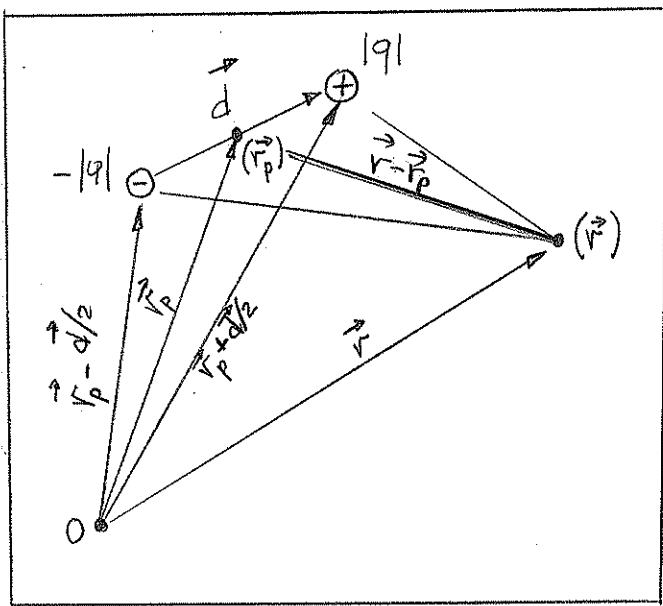
Είναι λοιπόν προφανή ότι τα "εξωτερικά" φορτία, τα φορτία πηγών και φυσικά το αδρανειακό (ως θυμίζουμε ότι $\rho_{ολ} = \rho_u + \rho_p = \rho_u - \nabla \cdot \vec{P}$) υπακούουν το καθένα το νόμο διατήρησης φορτίου. Ας συμπληρώσουμε όμως οτιδήποτε μπορούμε να θεωρήσουμε το

$$\vec{J}_{ολ} = \vec{J}_u + \vec{J}_p + \nabla \times \vec{M} \quad (36)$$

καθ' όσον η απόδειξη του $\nabla \times \vec{M}$ μηδενίζεται ταυτοτικά και έτσι η μαθηματική δα' υπερισχύει καθ' όσον στους νόμους διατήρησης των φορτίων.

Δυναμικό γύρω φορτίων πηγών

1ος τρόπος (δυναμικό διπόλου)



Το δυναμικό στη θέση (\vec{r}) (ως προς το άπειρο) είναι (επακμαθίζοντας τις συνεισφορές της αργής και της κερφαής του διπόλου του σχήματος):

$$\phi_p(\vec{r}) = \frac{1}{4\pi\epsilon_0} \left\{ \frac{|q|}{|\vec{r}-\vec{r}_p-\vec{d}/2|} - \frac{|q|}{|\vec{r}-\vec{r}_p+\vec{d}/2|} \right\}$$

όπου \vec{r}_p υποδηλώνει τη θέση του φακτοπληκέντρου του διπόλου. Η σχέση αυτή γίνεται:

$$\phi_p = \frac{|q|}{4\pi\epsilon_0 |\vec{r}-\vec{r}_p|} \left\{ \left[1 + \frac{d^2/4 - \vec{d} \cdot (\vec{r}-\vec{r}_p)}{|\vec{r}-\vec{r}_p|^2} \right]^{-1/2} - \left[1 + \frac{d^2/4 + \vec{d} \cdot (\vec{r}-\vec{r}_p)}{|\vec{r}-\vec{r}_p|^2} \right]^{-1/2} \right\}$$

Αν τώρα, $ud \ll |\vec{r}-\vec{r}_p|$ τότε,

$$\begin{aligned} \phi_p &\approx \frac{|q|}{4\pi\epsilon_0 |\vec{r}-\vec{r}_p|} \left\{ \left[1 - \frac{\vec{d} \cdot (\vec{r}-\vec{r}_p)}{|\vec{r}-\vec{r}_p|^2} \right]^{-1/2} - \left[1 + \frac{\vec{d} \cdot (\vec{r}-\vec{r}_p)}{|\vec{r}-\vec{r}_p|^2} \right]^{-1/2} \right\} \\ &\approx \frac{|q|}{4\pi\epsilon_0 |\vec{r}-\vec{r}_p|} \left\{ \left[1 + \frac{\vec{d} \cdot (\vec{r}-\vec{r}_p)}{|\vec{r}-\vec{r}_p|^2} \right]^{1/2} - \left[1 - \frac{\vec{d} \cdot (\vec{r}-\vec{r}_p)}{|\vec{r}-\vec{r}_p|^2} \right]^{1/2} \right\} \\ &\approx \frac{|q| \vec{d} \cdot (\vec{r}-\vec{r}_p)}{4\pi\epsilon_0 |\vec{r}-\vec{r}_p|^3} = \frac{\vec{p} \cdot (\vec{r}-\vec{r}_p)}{4\pi\epsilon_0 |\vec{r}-\vec{r}_p|^3} \end{aligned}$$

όπου κάνουμε χρήση των προσεγγίσεων ($\epsilon \ll 1$): $(1 \pm \epsilon)^{-1} \approx 1 \mp \epsilon$ και $(1 \pm \epsilon)^{1/2} \approx 1 \pm \epsilon/2$. Αν ορίσουμε $\vec{R} = \vec{r} - \vec{r}_p$ δηλαδή το διάνυσμα από το κέντρο του διπλού προς το σημείο μέτρησης του δυναμικού, έχουμε:

$$(37) \quad \phi_p \approx \frac{\vec{p} \cdot \vec{R}}{4\pi\epsilon_0 R^3} = \frac{\vec{p} \cdot \vec{z}_R}{4\pi\epsilon_0 R^2}, \quad \vec{z}_R \equiv \frac{\vec{R}}{R}$$

Αν, πάλι, υποθέσουμε ότι υπάρχουν πολλά διπλά στον χώρο

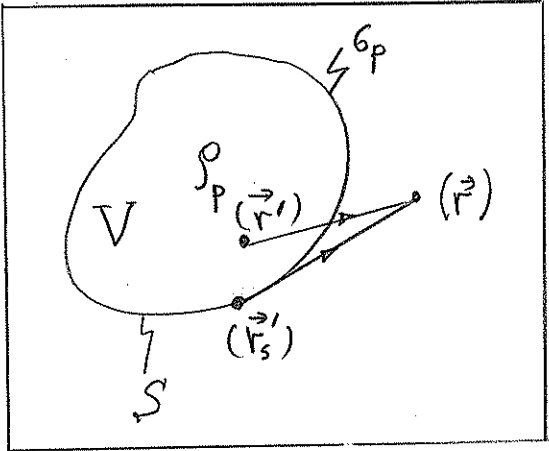
$$(38) \quad \phi_{\text{πολ}} = \sum_j \frac{\vec{p}_j \cdot \vec{R}_j}{4\pi\epsilon_0 R_j^2}$$

και στο ευχές όριο και όταν μπορεί να οριστεί η πυκνότητα διπλομένη ραβής (ή πόλων) \vec{P} , έτσι ώστε $\vec{p}_j \rightarrow d\vec{p} = \vec{P} dV$ τότε έχουμε το εξής ολοκλήρωμα

εξήγησις:

$$\phi_{\text{πολ}}(\vec{r}, t) = \int_V dV' \frac{\vec{P}(\vec{r}', t) \cdot (\vec{r} - \vec{r}')}{4\pi\epsilon_0 |\vec{r} - \vec{r}'|^3} \quad (39)$$

2^{ος} ΤΡΟΠΟΣ (φορτία πόλων)



Εδώ, γίνεται απ' ευθείας εφαρμογή του ολοκληρώματος εξήγησις σε κάποια θέση του χώρου, δεδομένων των κατανομών ρ_p και ρ_p στο υλικό μέσο. Δηλαδή:

$$\phi_p(\vec{r}, t) = \frac{1}{4\pi\epsilon_0} \int_V \rho_p(\vec{r}', t) \frac{dV'}{|\vec{r} - \vec{r}'|} + \frac{1}{4\pi\epsilon_0} \oint_{S(V)} dS' \frac{\rho_p(\vec{r}', t)}{|\vec{r} - \vec{r}'|}$$

ή, εφαρμόζοντας τις (31) και (32):

$$\phi_p(\vec{r}, t) = - \frac{1}{4\pi\epsilon_0} \left[\int_V \frac{\nabla' \cdot \vec{P}' dV'}{|\vec{r} - \vec{r}'|} + \oint_{S(V)} \frac{\vec{n}' \cdot (\vec{P}'_s - \vec{P}'_e) dS'}{|\vec{r} - \vec{r}'|} \right]$$

όπου ο μηδενισμός της \vec{P}'_e οφείλεται στο ότι το (+) αναφέρεται στον εξωτερικό της επιφανειακού χώρου. επιπλέον, $\nabla' \cdot \vec{P}' / |\vec{r} - \vec{r}'| = \nabla' \cdot (\vec{P}' / |\vec{r} - \vec{r}'|) - \vec{P}' \cdot \nabla' / |\vec{r} - \vec{r}'|^3$ έχουμε

Τελικά,

$$\begin{aligned} \phi_p(\vec{r}, t) &= -\frac{1}{4\pi\epsilon_0} \left[\int_V \nabla' \left(\frac{\vec{p}'}{|\vec{r}-\vec{r}'|} \right) dV' - \int_V \vec{p}' \cdot \nabla' \left(\frac{1}{|\vec{r}-\vec{r}'|} \right) dV' - \oint_{S(V)} \frac{d\vec{S}' \cdot \vec{p}'}{|\vec{r}-\vec{r}'_s|} \right] \\ &= -\frac{1}{4\pi\epsilon_0} \left[\oint_{S(V)} \frac{d\vec{S}' \cdot \vec{p}'}{|\vec{r}-\vec{r}'_s|} - \int_V \vec{p}' \cdot \nabla' \left(\frac{1}{|\vec{r}-\vec{r}'|} \right) dV' - \oint_{S(V)} \frac{d\vec{S}' \cdot \vec{p}'}{|\vec{r}-\vec{r}'_s|} \right] \\ &= \frac{1}{4\pi\epsilon_0} \int \frac{\vec{p}' \cdot (\vec{r}-\vec{r}')}{|\vec{r}-\vec{r}'|^3} dV' \end{aligned}$$

όπως τελικά περιμέναμε.

ΑΠΛΑ ΜΟΝΤΕΛΑ ΥΠΟΛΟΓΙΣΜΟΥ ΤΗΣ ΠΟΛΩΣΗΣ

α. Πόλωση λόγω κίνησης δεσμευμένου ηλεκτρονίου κατά την επίδραση ενός αρμονικού ηλεκτρικού πεδίου

Εάν ζ είναι η μετακίνηση από τη θέση ισορροπίας (μηδενικό συνολικό φορτίο) του ηλεκτρονίου μάζας m_e , τότε η μέγ. αδρανειακή δύναμη είναι $m_e \frac{d^2\zeta}{dt^2}$, ενώ η δύναμη επαναφοράς λόγω του δεσμού μπορεί να προσεγγιστεί γραμμικά (όπως στο μηχανικό διάλογο του ελατηρίου) με $k\zeta$ όπου k ^{δύναμη} ~~σταθερά~~ ^{σταθερά} χαρακτηροποίησης του δεσμού. Υποθέτουμε επίσης ότι κατά την κίνηση του το ηλεκτρόνιο επηρεάζεται από τα πεδία των δεσμικών κινούμενων φαινομικών στοιχικών συφεροτήτων, πράγμα που υποθέτουμε ότι προαγεί διάσχυση στην κίνηση του: δηλαδή, η δύναμη "επιβίβης" που προαγεί διάσχυση είναι $m_e \delta \frac{d\zeta}{dt}$ όπου δ είναι μία δεικτική θύμηση σταθερά. Έτσι, η εξίσωση της κίνησης γίνεται (*: βλ. επόμενη σελίδα 24)

$$m_e \frac{d^2\zeta}{dt^2} + m_e \delta \frac{d\zeta}{dt} + k\zeta = eE(t)$$

Εάν εισάγουμε $\zeta = \text{Re} \zeta_\omega e^{-j\omega t}$, $E = \text{Re} E_\omega e^{-j\omega t}$ οπότε

η εξίσωση γίνεται:

$$-m_e \omega^2 \zeta_\omega - j\omega m_e \delta \zeta_\omega + k\zeta_\omega = -eE_\omega$$



οπότε, ο φασοδότης της μετακίνησης, γίνεται:

$$\tilde{z}_\omega = \frac{-e}{M_e \omega^2 + j\omega\delta - \kappa} E_\omega$$

ή εάν ορίσουμε την ιδιοσυχνότητα (επαγωγός) $\omega_0 = (\kappa/M_e)^{1/2}$, θα έχουμε

$$\tilde{z}_\omega = \frac{-e/M_e}{\omega^2 - \omega_0^2 + j\omega\delta} E_\omega$$

και έτσι

$$\boxed{z(t) = \operatorname{Re} \left(\frac{-e/M_e E_\omega e^{-j\omega t}}{\omega^2 - \omega_0^2 + j\omega\delta} \right)} \quad (40)$$

Υποθέτουμε τώρα ότι έχουμε ένα πηδός τέτοια χρονικά μεταβαλλόμενη διπλάση, όμοια ομοιά και, επιπλέον, υποθέτουμε ότι (μια και ήδη γάβαμε υπ' όψη την "ριβή" των φελλών), διατυπώνω στη βάση της σχέσης (40), μπορούν να θεωρηθούν ως ανεξάρτητα και μη επηρεαζόμενα. Έτσι λοιπόν, αν n_p είναι η αριθμητική των πυκνότητα θα έχουμε για την πόσηση:

$$P(t) = -\operatorname{Re} \left(\frac{e^2 n_p / M_e E_\omega e^{-j\omega t}}{\omega^2 - \omega_0^2 + j\omega\delta} \right)$$

ή

$$\boxed{P_\omega = \epsilon_0 \frac{\omega_e^2 E_\omega}{\omega_0^2 - \omega^2 - j\omega\delta} \quad \text{με} \quad \omega_e^2 \equiv \frac{e^2 n_p}{\epsilon_0 M_e}} \quad (41)$$

όπου ω_e καλείται συχνότητα πλάσματος ηλεκτρονίων - πυρήνων. Εφ' όσον, τώρα,

$\vec{D}_\omega = \epsilon_0 \vec{E}_\omega + \vec{P}_\omega$ έχουμε ζητά,

$$\boxed{D_\omega = \epsilon_0 \left(1 + \frac{\omega_e^2}{\omega_0^2 - \omega^2 - j\omega\delta} \right) E_\omega \equiv \epsilon_0 \epsilon_r(\omega) E_\omega} \quad (42)$$

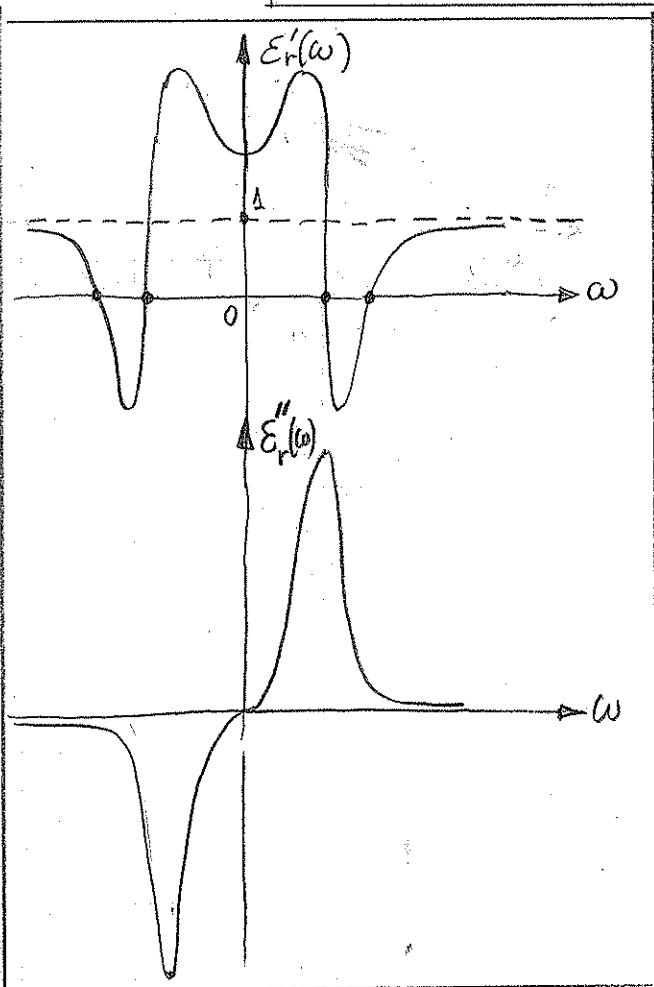
(* Πρέπει να σημειωθεί ότι όταν $E > 0$ (στο σύστημα μέτρησης του z με αρχή των αξόνων στη θέση του θετικού ιόντος) τότε $z < 0$ και αντίστροφως \leftarrow ΠΡΟΣΟΧΗ! Επιπλέον, η σχετική ηλεκτρική επιτρεσιμότητα στο συγκεκριμένο χώρο είναι μιγαδική ποσότητα

$$\epsilon_r(\omega) = 1 + \frac{\omega_e^2}{\omega_0^2 - \omega^2 - j\omega\delta} \quad (43)$$

$$\equiv \epsilon_r'(\omega) + j\epsilon_r''(\omega)$$

όπου $\epsilon_r'(\omega)$ και $\epsilon_r''(\omega)$ είναι αντίστοιχα το πραγματικό και φανταστικό μέρος της:

$$\epsilon_r'(\omega) = 1 + \frac{\omega_p^2(\omega_0^2 - \omega^2)}{(\omega_0^2 - \omega^2)^2 + \omega^2\delta^2}, \quad \epsilon_r''(\omega) = \frac{\omega_p^2\omega\delta}{(\omega_0^2 - \omega^2)^2 + \omega^2\delta^2} \quad (44)$$



Στα διπλωμά σήματα βλέπουμε τυπικές μορφές των διασπρήσεων αυτών. Για μεγάλες συχνότητες ηλεκτρικά πεδία, η επιτρεσιμότητα πλησιάζει τη μονάδα λόγω αυτήν των κανόνων ανά το φανταστικό μέρος που αντικαθιστά την ανακρίβη επίδραση των πεδίων (ανάλογο του δ) εκφυλίζονται. Το σημείο μέγιστης μειοπροσέγγισης για συχνότητες που είναι κοντά στη συχνότητα πλάσματος. Για την ακρίβεια,

$\omega_{\epsilon_r' \rightarrow \max}^2 = (\omega_p^2 + \delta^4)^{1/2} - \delta^2 \approx \omega_p^2$ για μικρό δ . Παρατηρούμε επίσης ότι το πραγματικό μέρος μηδενίζεται, δηλαδή η διασπρήση

μηδενίζεται κατά το πραγματικό μέρος (σε φασματική) για συχνότητες πλησίον της $\omega_p^2 + \omega_0^2$ (για μικρό δ):

$$\omega_{\epsilon_r' \rightarrow 0}^2 = \frac{\omega_p^2 + \delta^2 + 2\omega_0^2 \pm [(\omega_p^2 + \delta^2)^2 + 4\omega_0^2\delta^2]^{1/2}}{2}$$

β. Πόσων λέγω κίνησης ηλεκτρονίων (ηλεκτρονίων) σε περιβάλλον ακίνητων ιόντων (βερτίαν)
κατά την επίδραση ενός αρμονικά ηλεκτρικού πεδίου.

Η περίπτωση αυτή μπορεί να θεωρηθεί απλή υποπερίπτωση της (α) των περιπτώσεων που αποδείξαμε τόσο η δύναμη επαναφοράς (ή του "ελασρίου") καθώς και η "τριβή". Επειδή λοιπόν έχουμε μια την διηλεκτρική μετατόπιση σε πλάσμα νεύρας ηλεκτρονίων σε περιβάλλον εξουδετέρωσης βερτίαν ακίνητων ιόντων [από τη σχέση (42)]:

$$D_{\omega} = \epsilon_0 \left(1 - \frac{\omega_e^2}{\omega^2}\right) E_{\omega} \equiv \epsilon_0 \epsilon_r(\omega) E_{\omega} \quad (45)$$

Η διηλεκτρική μετατόπιση αυτή παρουσιάζει συντονισμό (απειρίζεται δηλαδή) για $\omega \approx \omega_e$ ενώ τυβιάζει αυτή του κενού (~ 1) για συχνότητες που μεγάλες σε σχέση με τη συχνότητα πλάσματος.

γ. Γυροτροπικό μέσο: Πλάσμα σε ομογενές στατικό μαγνητικό πεδίο.

Αν υποθέσουμε ότι υφίσταται ομογενές στατικό πεδίο \vec{B}_0 , τότε η εξίσωση κίνησης διανυσματικά (δύναμη Lorentz) μπορεί να γραφεί για ένα ηλεκτρόνιο:

$$m_e \frac{d^2 \vec{r}}{dt^2} = -e \left[\vec{E}(t) + \frac{d\vec{r}}{dt} \times \vec{B}_0 \right]$$

Επειδή η 2^η παράγωγος της μετατόπισης των ηλεκτρονίων και αυτή της πόσωσης που αναπτύσσεται λόγω δράσης εξωτερικής ηλεκτρικής δύναμης, είναι διανύσματα ανεξάρτητα, ενώ στην περίπτωση της μαγνητικής δύναμης η 2^η παράγωγος είναι οριζόντια του γινόμενου $\frac{d\vec{p}}{dt} \times \vec{B}_0$ (για πυκνότητα

πλάσματος n_e):

$$\frac{d^2 \vec{p}}{dt^2} = -e n_e \frac{d^2 \vec{r}}{dt^2} = -e n_e \frac{d\vec{r}}{dt} = \frac{e^2 n_e}{m_e} \left[\vec{E}(t) + \frac{1}{e n_e} \frac{d\vec{p}}{dt} \times \vec{B}_0 \right]$$

ή, αν ορίσουμε τη συχνότητα Larmor $\vec{\omega}_c \equiv \frac{e \vec{B}_0}{m_e}$

$$\frac{d^2 \vec{p}}{dt^2} = \epsilon_0 \frac{e^2 n_e}{m_e \epsilon_0} \left[\vec{E}(t) - \frac{m_e \vec{\omega}_c}{e^2 n_e} \times \frac{d\vec{p}}{dt} \right] = \epsilon_0 \omega_e^2 \vec{E}(t) - \vec{\omega}_c \times \frac{d\vec{p}}{dt}$$

$$\frac{d^2 \vec{p}}{dt^2} + \vec{\omega}_c \times \frac{d\vec{p}}{dt} = \epsilon_0 \omega_e^2 \vec{E}(t) \quad (*) \text{ βλ. σελίδα (27)}$$

Με χρήση φαινομένων θα έχουμε πάλι,

$$\boxed{-\omega^2 \vec{P}_\omega + j\omega \vec{\omega}_c \times \vec{P}_\omega = -\epsilon_0 \omega_e^2 \vec{E}_\omega} \quad (46)$$

Η διανυσματική αυτή εξίσωση μπορεί εύκολα να λυθεί:

$$-\omega^2 \vec{\omega}_c \cdot \vec{P}_\omega = -\epsilon_0 \omega_e^2 \vec{E}_\omega \cdot \vec{\omega}_c \quad \text{και}$$

$$-\omega^2 \vec{\omega}_c \times \vec{P}_\omega + j\omega \vec{\omega}_c \times (\vec{\omega}_c \times \vec{P}_\omega) = -\epsilon_0 \omega_e^2 \vec{\omega}_c \times \vec{E}_\omega \quad \text{ή ισοδύναμα}$$

$$-\omega^2 \vec{\omega}_c \times \vec{P}_\omega + j\omega [(\vec{\omega}_c \cdot \vec{P}_\omega) \vec{\omega}_c - \omega_c^2 \vec{P}_\omega] = -\epsilon_0 \omega_e^2 \vec{\omega}_c \times \vec{E}_\omega \quad \text{ή επίσης ισοδύναμα}$$

$$j\omega \vec{\omega}_c \times \vec{P}_\omega - j\left[\epsilon_0 \frac{\omega_e^2}{\omega^2} (\vec{E}_\omega \cdot \vec{\omega}_c) \vec{\omega}_c + \omega_c^2 \vec{P}_\omega \right] = -j\epsilon_0 \omega_e^2 \frac{\vec{\omega}_c \times \vec{E}_\omega}{\omega} \quad \text{ή οποία λήγω της (46)}$$

πίνεξι:

$$j\omega \left[-\epsilon_0 \omega_e^2 \vec{E}_\omega - \omega^2 \vec{P}_\omega + \epsilon_0 \frac{\omega_e^2}{\omega^2} (\vec{E}_\omega \cdot \vec{\omega}_c) \vec{\omega}_c + \omega_c^2 \vec{P}_\omega \right] = -j\epsilon_0 \frac{\omega_e^2 \vec{\omega}_c \times \vec{E}_\omega}{\omega} \quad \text{ή}$$

$$(\omega_c^2 - \omega^2) \vec{P}_\omega = -\omega_e^2 \vec{E}_\omega - \frac{\omega_e^2 \vec{\omega}_c}{\omega^2} (\vec{\omega}_c \cdot \vec{E}_\omega) + j \frac{\omega_e^2 \vec{\omega}_c \times \vec{E}_\omega}{\omega} \quad \text{ή}$$

$$\boxed{\vec{P}_\omega = \epsilon_0 \left[\frac{\omega_e^2}{\omega_c^2 - \omega^2} \vec{E}_\omega - \frac{\omega_e^2 \vec{\omega}_c}{\omega^2 (\omega_c^2 - \omega^2)} (\vec{\omega}_c \cdot \vec{E}_\omega) - j \frac{\omega_e^2}{\omega (\omega_c^2 - \omega^2)} \vec{\omega}_c \times \vec{E}_\omega \right]} \quad (47)$$

Σε καρτεσιανό σύστημα, η διανυσματική μαζώπιση φράζεται (συμβαίνει ότι αν το εξωτερικό πεδίο είναι κατά τη διεύθυνση z τότε $\vec{\omega}_c = \vec{z} \omega_c$):

$$D_{\omega,x} = \epsilon_0 \left[\left(1 - \frac{\omega_e^2}{\omega^2 - \omega_c^2}\right) E_{\omega,x} - j \frac{\omega_e^2 \omega_c}{\omega (\omega^2 - \omega_c^2)} E_{\omega,y} \right]$$

$$D_{\omega,y} = \epsilon_0 \left[\left(1 - \frac{\omega_e^2}{\omega^2 - \omega_c^2}\right) E_{\omega,y} + j \frac{\omega_e^2 \omega_c}{\omega (\omega^2 - \omega_c^2)} E_{\omega,x} \right]$$

$$D_{\omega,z} = \epsilon_0 \left(1 - \frac{\omega_e^2}{\omega^2}\right) E_{\omega,z}$$

ή, σε μορφή πινάκων,

$$\vec{D}_\omega = \epsilon_0 \vec{\epsilon}_r(\omega) \cdot \vec{E}_\omega \quad (48)$$

δηλαδή, στην περίπτωση αυτή η ηλεκτρική επιρροαιότητα γίνεται τανυστής :

$$\vec{\epsilon}_r(\omega) \equiv \begin{pmatrix} \epsilon_{r\perp}(\omega) & -j\epsilon_{rg}(\omega) & 0 \\ j\epsilon_{rg}(\omega) & \epsilon_{r\perp}(\omega) & 0 \\ 0 & 0 & \epsilon_{r\parallel}(\omega) \end{pmatrix} \quad (49)$$

όπου, στο εφαρμόσιο (ως προς \vec{B}) πεδίο, η ^{οριζόντια} επιρροαιότητα γίνεται από:

$$\epsilon_{r\perp}(\omega) = 1 - \frac{\omega_e^2}{\omega^2 - \omega_c^2} \quad (50a)$$

κατά μήκος του άξονα επιβολής του πεδίου το πλάσμα συμπεριφέρεται σαν αμακνήσιο :

$$\epsilon_{r\parallel}(\omega) = 1 - \frac{\omega_e^2}{\omega^2} \quad (50b)$$

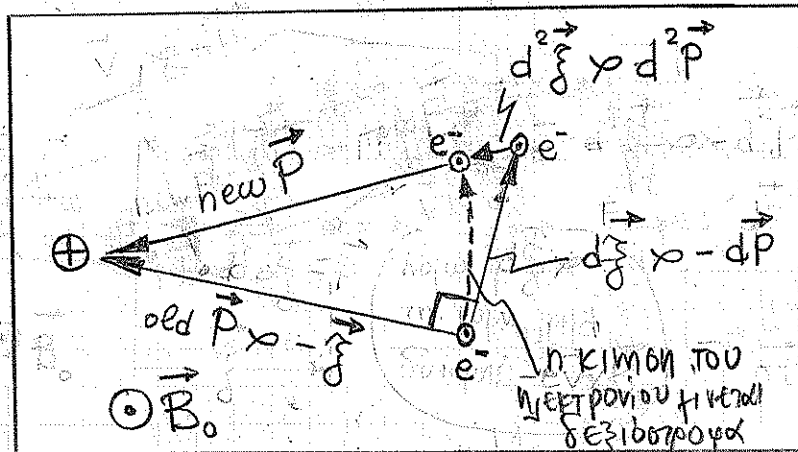
ενά υπάρχουν και δύο συζυγή οριζόντια εκτός διαφάνειας (φανταστικά και αντίθετα) $\pm j\epsilon_{rg}(\omega)$ που δίνονται από τη σχέση :

$$\epsilon_{rg}(\omega) = \frac{\omega_e^2 \omega_c}{\omega(\omega^2 - \omega_c^2)} \quad (50\gamma)$$

Παρατήρηση για τη δράση μαγνητικής δύναμης επί της πτώσης λόγω μετατόπισης

ηλεκτρονίων

$$M_e d\vec{p} = e d\vec{p} \times \vec{B}_0 dt$$



$$B_0 = \frac{1}{\mu_0} \mu_0 H_0$$

$1/e$